

сообщения
объединенного
института
ядерных
исследований
дубна

П 38

P17-90-59

В.Н.Плечко, И.К.Соболев

АНОМАЛЬНО УЗКАЯ КРИТИЧЕСКАЯ ОБЛАСТЬ
В МОДЕЛИ ИЗИНГА
НА СИЛЬНО ДЕКОРИРОВАННОЙ
ТРЕУГОЛЬНОЙ РЕШЕТКЕ

1990

Точно решаемая двумерная модель Изинга [1] играет важную роль в теории фазовых переходов второго рода. Следует, однако, заметить, что большинство аналитических результатов в модели Изинга было получено для классических решеток с простой структурой — прямоугольной, треугольной и гексагональной [1,2]. Гораздо менее изучены модели на декорированных решетках, или решетках с нетривиальной внутренней структурой элементарной ячейки [2-5]. Изучение декорированных изинговских решеток может представлять интерес для ряда задач теории твердого тела, магнетизма, материаловедения и др., где часто приходится иметь дело с системами с достаточно сложной локальной структурой.

В данном сообщении, на основе результатов, полученных аналитическими методами, мы изучаем поведение теплоемкости во всей области температур для модели Изинга на последовательности сильно декорированных двумерных решеток треугольного типа, см. рис.1 и 2. Рассматриваемая серия моделей относится к классу точно решаемых изинговских систем на декорированных решетках из работ [3,4]. Статистическая сумма таких систем выражается через статсумму трехспиновых полиномов, которая, в свою очередь, вычисляется в аналитическом виде в терминах параметров трехспиновых полиномов [3]. Параметры трехспиновых полиномов мы определяем с помощью специальной рекурсионной техники, основанной на применении преобразований типа звезда-треугольник [6,7]. Зная статсумму и свободную энергию, можем вычислить теплоемкость.

Вычисления для теплоемкости показывают, что при больших значениях параметра декорирования λ критическая область становится аномально узкой. Кроме того, при температуре выше критической на кривой теплоемкости проявляется хорошо заметный пик, который мы связываем с изменением в режиме корреляций спинов

внутри декорированной ячейки. Аномальная узость критической области может быть проинтерпретирована, видимо, как следствие формирования достаточно сильных корреляций спинов во внутренней области декорированной ячейки к моменту достижения точки фазового перехода на глобальной решетке.

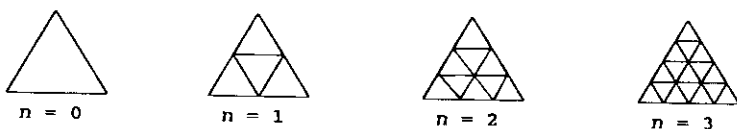


Рис. 1. Последовательность декорированных ячеек при малых n .

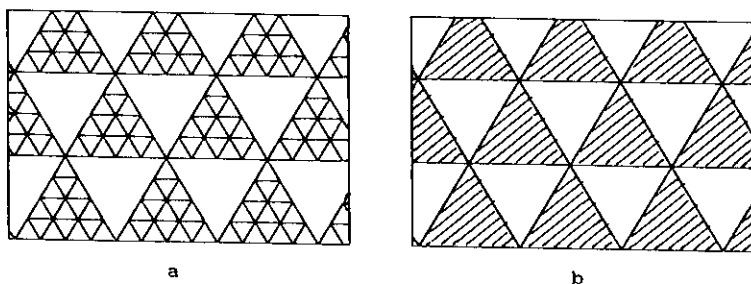


Рис. 2. Фрагмент глобальной $n=3$ решетки (а) и общая структура декорированных решеток (б). Для n -решетки заштрихованный треугольник реализуется как декорированная элементарная ячейка с номером n .

1. *Декорированные треугольные решетки.* Будем рассматривать последовательность сильно декорированных изинговских решеток со структурой, показанной на рис.1 и 2. Решетки нумеруются целочисленным индексом $n = 0, 1, 2, 3, 4, 5, \dots$. Элементарная декорированная ячейка для решетки n -го порядка представляет собой ограниченный фрагмент простой треугольной решетки, причем $n+1$ есть число элементарных треугольников вдоль ребра n -ячейки. Структура декорированных ячеек для $n = 0, 1, 2, 3$ приведена на рис.1. Глобальная n -решетка получается периодическим повторением декорированной n -ячейки на плоскости, рис.2. Таким образом, при $n=0$ имеем обычную треугольную решетку. В качестве примера на рис.2а показан фрагмент глобальной $n=3$ решетки. На рис.2б приводится общая структура n -решеток, заштрихованные треугольники

для n -решетки реализуются как декорированные n -ячейки, рис. 1.

Гамильтониан модели Изинга имеет вид

$$- \beta H = \sum_{\langle i,j \rangle} b_{ij} \sigma_i \sigma_j, \quad \beta = 1/kT, \quad (1)$$

где $\sigma_i = \pm 1$, $\sigma_j = \pm 1$ изинговские спины в соседних узлах решетки i и j , b_{ij} — параметры взаимодействия, $b_{ij} = \epsilon_{ij}/kT$, ϵ_{ij} — энергия взаимодействия спинов, случай $\epsilon_{ij} > 0$ отвечает ферромагнитному взаимодействию, kT — температура. Сумма $\langle ij \rangle$ в (1) берется по всем связям, представленным на данной решетке. Гамильтониану (1) отвечает статистическая сумма

$$Z = \sum_{(\sigma)} e^{-\beta H} = \sum_{(\sigma)} \prod_{\langle i,j \rangle} e^{-b_{ij} \sigma_i \sigma_j}. \quad (2)$$

Отметим известное тождество для больцмановских весов:

$$e^{b_{ij} \sigma_i \sigma_j} = c_{ij} (1 + t_{ij} b_{ij} \sigma_i \sigma_j), \quad c_{ij} = \text{ch}(b_{ij}), \quad t_{ij} = \text{th}(b_{ij}), \quad (3)$$

которое легко проверяется перебором значений $(\sigma_i \sigma_j) = \pm 1$.

В (2) спиновое усреднение осуществляется по всем конфигурациям $\sigma_j = \pm 1$ независимо в каждом узле. В дальнейшем будет удобно перейти к нормированному спиновому усреднению [3]:

$$\text{SP}_{(\sigma_j)}(\dots) = \frac{1}{2} \sum_{\sigma_j = \pm 1} (\dots), \quad \text{SP}_{(\sigma_j)}(1) = 1, \quad \text{SP}_{(\sigma_j)}(\sigma_j) = 0, \quad (4a)$$

при этом в (2) имеем

$$\sum_{(\sigma)} (\dots) = 2^N \text{SP}_{(\sigma)}(\dots), \quad \text{SP}_{(\sigma)}(\dots) = \text{SP}_{(\sigma_1)} \text{SP}_{(\sigma_2)} \dots \text{SP}_{(\sigma_N)}(\dots), \quad (4b)$$

где N общее число узлов и спиновых переменных на решетке. Отметим, что из $\sigma_j = \pm 1$ следует $\sigma_j^2 = 1$, и вообще $(\sigma_j)^{2n} = 1$, $(\sigma_j)^{2n+1} = \sigma_j$.

Из (2)–(4) получаем, что Z можно представить в виде:

$$Z = \left[2^N \prod_{\langle i,j \rangle} c_{ij} \right] Q, \quad Q = \text{SP}_{(\sigma_j)} \left\{ \prod_{\langle i,j \rangle} (1 + t_{ij} \sigma_i \sigma_j) \right\}, \quad (5)$$

где произведение берется по всем связям на решетке, а спиновое усреднение берется по всем узлам. Фактор 2^N возникает из-за ренормировки среднего (4).

Обратимся теперь к решеткам типа представленных на рис.1 и 2. Будем нумеровать декорированные ячейки индексом k и обозначим

через $(\sigma_1, \sigma_2, \sigma_3)_k$ спины на концах k -й треугольной декорированной ячейки, см. рис. 3. Как не трудно заметить, задача о вычислении Q для рассматриваемых решеток приводится к вычислению статсуммы для трехспиновых полиномов следующего вида [3, 4]:

$$Q = \text{Sp} \prod_k (\alpha_0 + \alpha_1 \sigma_2 \sigma_3 + \alpha_2 \sigma_3 \sigma_1 + \alpha_3 \sigma_1 \sigma_2)_k \quad (6)$$

В самом деле, только спины на концах ячейки входят одновременно, и в том же качестве, и в другие ячейки, поэтому можем осуществить суммирование по внутренним спинам в каждой ячейке независимо. Произведение Больцмановских весов в (5), отвечающих какой-либо фиксированной k -й ячейке, представляет собой, очевидно, четный полином по спиновым переменным. Усредняя этот полином по всем внутренним переменным, получим четный полином по свободным спином в углах ячейки:

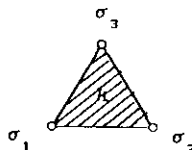


Рис. 3. Локальная нумерация спиновых переменных в углах элементарной ячейки.

$$(P_{123})_k = (\alpha_0 + \alpha_1 \sigma_2 \sigma_3 + \alpha_2 \sigma_3 \sigma_1 + \alpha_3 \sigma_1 \sigma_2)_k \quad (7)$$

В правой части (7) выписан четный полином по $(\sigma_1, \sigma_2, \sigma_3)_k$ самого общего вида, числовые параметры $\alpha_0, \alpha_1, \alpha_2, \alpha_3$ определяются конкретной структурой ячейки. Таким образом, мы приходим к представлению (6).

Свободная энергия в нормировке на одну декорированную ячейку была рассчитана методом интегралов по Грассмановым переменным в [3] и имеет вид

$$\begin{aligned} -\beta f_0 &= \left(\frac{1}{N_k} \ln Q \right)_{N_k \rightarrow \infty} = \\ &= \frac{1}{8\pi^2} \int_0^{2\pi} dp \int_0^{2\pi} dq \ln \left[(\alpha_0^2 + \alpha_1^2 + \alpha_2^2 + \alpha_3^2) - 2(\alpha_0 \alpha_1 - \alpha_2 \alpha_3) \cos p - \right. \\ &\quad \left. - 2(\alpha_0 \alpha_2 - \alpha_3 \alpha_1) \cos q - 2(\alpha_0 \alpha_3 - \alpha_1 \alpha_2) \cos(p+q) \right], \end{aligned} \quad (8)$$

здесь N_k — число элементарных ячеек на глобальной решетке, для числа спинов имеем $N = N_k(1+n_k)$, где n_k — число внутренних спинов

(узлов) на одной ячейке. В нормировке на один спин находим

$$(-\beta f_0)_{\text{per spin}} = \frac{1}{1+n_k} (-\beta f_0)_{\text{per cell}} \quad (9)$$

Переходя от Q к Z , см. (5), получаем отсюда полную свободную энергию $(-\beta f_z)$. Как обычно, в конце вычислений предполагается переход к бесконечной решетке, $N_k \rightarrow \infty$.

Зная свободную энергию, можем вычислить теплоемкость:

$$\left(c_z \right)_{\text{(per spin/cell)}} = \beta^2 \frac{\partial^2}{\partial \beta^2} \left[-\beta f_z \right], \quad \beta = 1/kT. \quad (10)$$

Таким образом, изучение термодинамики решеток со структурой типа рис. 2(b) сводится к изучению параметров полиномов (7). Заметим, что P_{123} в (7) представляет собой редуцированную матрицу плотности изолированной декорированной ячейки. При этом¹⁾

$$\alpha_0 = \text{SP} (P_{123})_{(\sigma)} \quad (11)$$

есть статистическая сумма изолированной ячейки, а величины α_j/α_0 выражаются через корреляторы угловых спинов на концах изолированной ячейки:

$$\frac{\alpha_1}{\alpha_0} = \langle \sigma_2 \sigma_3 \rangle, \quad \frac{\alpha_2}{\alpha_0} = \langle \sigma_1 \sigma_3 \rangle, \quad \frac{\alpha_3}{\alpha_0} = \langle \sigma_1 \sigma_2 \rangle, \quad (12)$$

где через $\langle \dots \rangle$ обозначено обычное гиббсовское среднее с гамильтонианом изолированной ячейки. Статсумма в (11) получается в той же нормировке, что и матрица плотности P_{123} . Если, как подразумевалось, в качестве бoльцмановских весов берутся $1 + t_{ij} \sigma_i \sigma_j$ (см. (5)), то статсумма для изолированной ячейки в обычной нормировке будет

$$Z_{\text{cell}} = \left(2^{n_k+3} \prod_{\langle ij \rangle} c_{ij} \right) \alpha_0, \quad (13)$$

это соотношение аналогично по смыслу (5), здесь n_k+3 — полное число спинов в ячейке. При желании нормировочный коэффициент в (13) можно было бы включить в определение параметров α_j . Выбор нормировки не отражается на соотношениях (12).

¹⁾ Индекс k здесь и далее опускаем.

Выше мы провели обсуждение на уровне несколько более общем, чем нам потребуется при расчетах, чтобы показать структуру задачи.

В дальнейшем мы ограничимся случаем однородного и изотропного взаимодействия, когда параметры взаимодействия на всех связях в наших декорированных решетках одинаковы, т.е. каждой связи в гамильтониане $-\beta H$ (см. (1)) отвечает член $b(\sigma_i \sigma_j)$, причем $b = \epsilon/kT > 0$ (ферромагнитный случай). В матрице плотности Q (5) имеем тогда бoльцмановские веса $1+t(\sigma_i \sigma_j)$, $t = \text{th}(b)$, и в редуцированном представлении для Q (6), см. также (7), будем иметь симметричный трехспиновый полином ($\alpha_1 = \alpha_2 = \alpha_3$), который запишем в виде:

$$(P_{123})_n = R_n [1 + \lambda_n (\sigma_1 \sigma_2 + \sigma_2 \sigma_3 + \sigma_1 \sigma_3)] , \quad (14)$$

где n — индекс решетки.

Формула (8) тогда приобретает вид:

$$\left(-\beta f_q \right)_{\text{per cell}} = \frac{1}{8\pi^2} \int_0^{2\pi} dp \int_0^{2\pi} dq \ln R_n^2 \left[(1 + 3\lambda_n^2) - 2\lambda_n (1 - \lambda_n) (\cos p + \cos q + \cos(p+q)) \right] , \quad (15a)$$

и, с учетом всех ренормировок, полная свободная энергия на один спин, отвечающая статсумме Z , см. (2), получается в виде

$$\left(-\beta f_z \right)_{\text{per spin}} = \left(\frac{1}{N} \ln Z \right)_{N \rightarrow \infty} = \ln 2 + \frac{1}{1+n_k} \ln(c^{n_b} R_n) + \frac{1}{1+n_k} \int_0^{2\pi} \int_0^{2\pi} \frac{dpdq}{8\pi^2} \ln \left[(1 + 3\lambda_n^2) - 2\lambda_n (1 - \lambda_n) (\cos p + \cos q + \cos(p+q)) \right] , \quad (15b)$$

здесь n_k — число внутренних спинов, n_b — число связей в ячейке n -го уровня. Простые вычисления дают

$$n_k = \frac{(n+2)(n+3)}{2} - 3 , \quad n_b = \frac{3(n+1)(n+2)}{2} . \quad (16)$$

Температура входит в (15) через зависимость параметров λ_n и R_n от $t = \text{th}(b)$, $b = \epsilon/kT > 0$. В дальнейшем под температурой будем подразумевать безразмерный параметр $b^{-1} = (kT/\epsilon)$. В формуле (10) для

теплоемкости удобно перейти от $\beta=1/KT$ к параметру $b=c/KT$:

$$C_{\text{per spln}} = b^2 \frac{\partial^2}{\partial b^2} \left[-\beta F_Z \right]_{\text{per spln}} \quad (17)$$

Таким образом, исследование модели сводится к определению функций $R_n=R_n(t)$ и $\lambda_n=\lambda_n(t)$, $t=\text{th}(b)$, характеризующих свойства n -ячейки. Вычисляя тем или иным способом параметры R_n и λ_n для трехспинового полинома (14) при различных значениях обратной температуры b , по формулам (15) и (17) можем изучить поведение теплоемкости в зависимости от температуры. Заметим в заключение этого раздела, что критическая точка для n -решетки определяется уравнением [3]:

$$3\lambda_n - 1 = 0 \quad (18)$$

В связи с условием (18) полезно отметить, что параметр λ_n представляет собой коррелятор угловых спинов на концах изолированной n -ячейки, $\lambda_n = \langle \sigma_1 \sigma_j \rangle_n$, см.(12).

2. *Вычисление параметров трехспиновых полиномов.* Нам необходимо уметь вычислять параметры трехспинового полинома

$$(P_{123})_n = P_n(\sigma_1|\sigma_2|\sigma_3) = R_n [1 + \lambda_n(\sigma_1\sigma_2 + \sigma_2\sigma_3 + \sigma_1\sigma_3)] \quad (19)$$

который получается как редуцированная матрица плотности декорированной ячейки n -го уровня со свободными угловыми спинами, причем каждой связи на ячейке сопоставляется больцмановский вес:

$$1 + t\sigma\sigma' = \frac{\sigma \sigma'}{t} \quad (20)$$

В простейшем случае $n=0$, когда ячейка представляет собой простой треугольник, рис.1, имеем

$$(P_{123})_0 = (1+t\sigma_1\sigma_2)(1+t\sigma_2\sigma_3)(1+t\sigma_1\sigma_3) = \quad (21a)$$

$$= (1+t^3) + t(1+t)(\sigma_1\sigma_2 + \sigma_2\sigma_3 + \sigma_1\sigma_3) \quad ,$$

и, следовательно,

$$R_0 = (1+t^3) \quad , \quad \lambda_0 = \frac{t(1+t)}{1+t^3} = \frac{t}{1-t+t^2} \quad (21b)$$

Подстановка этих значений в (14) (здесь $n_k=0$, $n_b=3$) приводит к известному выражению для свободной энергии стандартной треугольной решетки.

В следующем порядке, $n=1$, требуются более громоздкие вычисления. Обозначив спиновые переменные, как на рис. 4, имеем задачу:

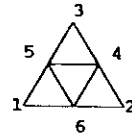


Рис. 4

$$(P_{123})_1 = P_1(\sigma_1 | \sigma_2 | \sigma_3) = \text{SP}_{(\sigma_4, \sigma_5, \sigma_6)} \left\{ P_0(\sigma_1 | \sigma_6 | \sigma_5) P_0(\sigma_6 | \sigma_2 | \sigma_4) P_0(\sigma_5 | \sigma_4 | \sigma_3) \right\} \quad (22a)$$

где мы объединили 9 имеющихся связей в треугольники и воспользовались уже известным выражением (21) для полинома при $n=0$. В результате вычислений в терминах R_0 и λ_0 получаем

$$R_1 = R_0^3(1 + \lambda_0^3) \quad , \quad \lambda_1 = \frac{\lambda_0^2}{1 - \lambda_0 + \lambda_0^2} \quad (22b)$$

Аналогичным образом можно рассчитать параметры R_2 и λ_2 . Однако уже при проведении вычислений (22) можно заметить, что какой-либо вариант прямого метода усреднения при больших n (фактически при $n > 3$) не приемлем из-за экспоненциального роста сложности вычислений. В самом деле, формально в (22a) имеем 3 фактора, каждый из которых имеет 4 слагаемых, и их произведение содержит уже 4^3 слагаемых. Для ячейки n -го порядка потребуется учет порядка $n^2/4$ таких факторов, перемножение которых даст порядка $2^{n^2/2}$ слагаемых, с последующим усреднением возникающего полинома²⁾. Поэтому мы разработали другой метод, со степенным ростом сложности относительно n , который позволяет проводить аналитические и численные вычисления при достаточно больших n .

В предложенном методе существенно используется преобразование звезда-треугольник [5,6]. В интерпретации, удобной для нашей

²⁾ Это согласуется со следующей оценкой: на ячейке n -го уровня имеется порядка $n^2/2$ спиновых переменных $\sigma = \pm 1$, следовательно, имеем порядка $2^{n^2/2}$ спиновых конфигураций, которые надо перебрать при усреднении.

задачи, соотношение звезда-треугольник устанавливает связь между параметрами трехспиновых полиномов, отвечающих "треугольнику" и "звезде", см. рис. 5. Интерпретация ребер и узлов здесь имеет обычный изинговский смысл, при этом предполагается усреднение по спиновой переменной $\sigma_0 = \pm 1$ в центре "звезды".

В общем несимметричном случае треугольнику (рис. 5) отвечает полином

$$\begin{aligned} T_{123} &= (1+t_1\sigma_2\sigma_3)(1+t_2\sigma_3\sigma_1)(1+t_3\sigma_1\sigma_2) = \\ &= (1+t_1t_2t_3) + (t_1+t_2t_3)\sigma_2\sigma_3 + (t_2+t_1t_3)\sigma_1\sigma_3 + (t_3+t_1t_2)\sigma_1\sigma_2, \end{aligned} \quad (23)$$

а звезде отвечает полином

$$\begin{aligned} H_{123} &= \text{SP}_{(\sigma_0)} (1+h_1\sigma_1\sigma_0)(1+h_2\sigma_2\sigma_0)(1+h_3\sigma_3\sigma_0) = \\ &= 1 + h_1h_2\sigma_1\sigma_2 + h_2h_3\sigma_2\sigma_3 + h_1h_3\sigma_1\sigma_3. \end{aligned} \quad (24)$$

Приравнявая полиномы (с точностью до нормировочного фактора R_{123}),

$$T_{123}(\sigma_1|\sigma_2|\sigma_3) = R_{123}H_{123}(\sigma_1|\sigma_2|\sigma_3), \quad (25a)$$

получаем параметрические соотношения звезда-треугольник:

$$R_{123} = 1+t_1t_2t_3, \quad h_1h_j = \frac{t_k+t_1t_j}{1+t_1t_2t_3}, \quad (25b)$$

где i, j, k суть несовпадающие индексы, принимающие значения 1, 2, 3.

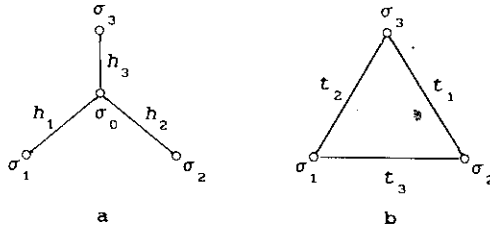


Рис. 5. Преобразование звезда-треугольник - иллюстрация к соотношениям (29) - (30). По состояниям переменной $\sigma_0 = \pm 1$ в центре звезды производится усреднение.

Уравнения разрешаются относительно h_i - х, в терминах правых частей (25b), следующим образом:

$$h_i = \sqrt{\frac{\lambda_j \lambda_k}{\lambda_i}}, \quad \lambda_k = \frac{t_k+t_1t_j}{1+t_1t_2t_3}. \quad (26)$$

Чтобы разрешить условия (26) относительно t удобно перейти к Крамерс-Ванье сопряженным параметрам t_j^* и h_j^* :

$$t_i^* = \frac{1-t_1}{1+t_1}, \quad t_1 = \frac{1-t_i^*}{1+t_i^*}, \quad h_i^* = \frac{1-h_1}{1+h_1}, \quad h_1 = \frac{1-h_i^*}{1+h_i^*}. \quad (27)$$

Введем также параметры λ_k^* , получающиеся при замене $t_j \rightarrow h_j^*$ и $h_j \rightarrow t_j^*$ в (26):

$$\lambda_k^* = \frac{1+\lambda_k - \lambda_1 - \lambda_j}{1+\lambda_1 + \lambda_2 + \lambda_3}, \quad \lambda_k = h_1 h_j, \quad (28)$$

тогда параметры t_j определяются по следующей схеме:

$$t_i^* = \sqrt{\frac{\lambda_j^* \lambda_k^*}{\lambda_i^*}}, \quad t_1 = \frac{1-t_i^*}{1+t_i^*}. \quad (29)$$

В частном случае симметричных ячеек звезды и треугольника, $\lambda_1 = \lambda$, $h_1 = h$, $t_1 = t$, формулы упрощаются. Уравнения (25б) приобретают вид

$$R = 1 + t^3, \quad h^2 = \frac{t}{1-t + t^2} = \lambda, \quad (30)$$

и при этом

$$h = \sqrt{\lambda}, \quad t = \frac{1+\lambda - \sqrt{1+2\lambda-3\lambda^2}}{2\lambda}. \quad (31)$$

Кроме соотношений звезда-треугольник нам еще потребуются более простые соотношения "склейки" и "приклеивания хвостов".

$$\begin{array}{c} h_1 \quad h_2 \\ \circ \text{---} \circ \text{---} \circ \\ \sigma_1 \quad \sigma_0 \quad \sigma_2 \end{array} = \begin{array}{c} h_1 h_2 \\ \circ \text{---} \circ \\ \sigma_1 \quad \sigma_2 \end{array}$$

Рис. 6. Преобразование "склейки" двух последовательных связей. По переменной σ_0 производится усреднение, см. (32).

Под склейкой мы понимаем объединение двух последовательных связей в одну:

$$\text{Sp}_{(\sigma_0)} (1 + h_1 \sigma_1 \sigma_0) (1 + h_2 \sigma_2 \sigma_0) = 1 + h_1 h_2 \sigma_1 \sigma_2, \quad (32)$$

что иллюстрируется графически на рис. 6.

Операция "приклеивание хвостов" иллюстрируется на рис.7. Предположим, что мы знаем трехспиновый полином, отвечающий внутреннему заштрихованному треугольнику (некоторой декорированной ячейке) на рис. 7. Пусть y_1, y_2, y_3 — изинговские спины на концах внутреннего треугольника, и требуется перейти к полиному полной ячейки с "хвостами", рис. 7, со свободными спинами $\sigma_1, \sigma_2, \sigma_3$ и усреднением по y_1, y_2, y_3 . Эта операция на уровне полиномов выглядит следующим образом:

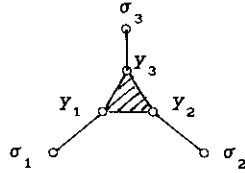


Рис. 7. Операция "приклеивания хвостов", иллюстрация к (33).

$$\begin{aligned} \text{Sp}_{(y_1, y_2, y_3)} (1 + \lambda_3 y_1 y_2 + \lambda_1 y_2 y_3 + \lambda_2 y_3 y_1) (1 + h_1 y_1 \sigma_1) (1 + h_2 y_2 \sigma_2) (1 + h_3 y_3 \sigma_3) = \\ = 1 + \lambda_3 h_1 h_2 \sigma_1 \sigma_2 + \lambda_1 h_2 h_3 \sigma_2 \sigma_3 + \lambda_2 h_1 h_3 \sigma_1 \sigma_3. \end{aligned} \quad (33)$$

Покажем теперь, что описанные выше преобразования позволяют организовать рекурсию, последовательно понижающую порядок задачи. Начав с n -ячейки, мы сводим задачу к (несимметричной) $(n-1)$ -ячейке, затем к $(n-2)$ -ячейке и т. д. Схема вычислений

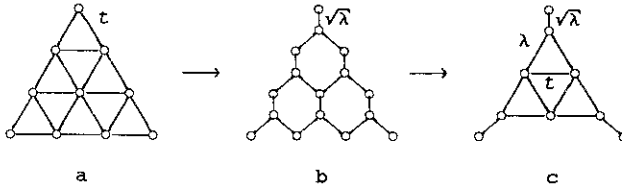


Рис. 8. Редукция 2-ячейки к обобщенной 1-ячейке.

иллюстрируется на рис. 8 и 9 для случая $n=2$ ячейки. На рис 8a имеем исходную $n=2$ ячейку с параметрами связи t на каждом ребре. Применив преобразование треугольник-звезда, переходим к структуре на рис 8b, где каждой связи отвечает параметр $h = \sqrt{\lambda}$ (см. (31)). После этого мы можем "склеить" двойные связи по периметру треугольника, рис 8b, по правилу (32), а внутри периметра перейти от звезды обратно к треугольнику, что приводит к ячейке на рис 8c. Здесь мы имеем структуру типа рис. 7, и задача сводится к рассмотрению внутреннего треугольника, имеющего уже порядок $n=1$, к

которому в любой момент можно присоединить имеющиеся "хвосты" по правилу (33). Отметим здесь ту характерную особенность, что связи на внутреннем треугольнике на рис. 8с, в отличие от исходного положения, рис. 8а, уже не эквивалентны. Внутри треугольника сохранились связи с параметром t , однако, по внешнему периметру, из-за операции склейки, связи изменились и равны теперь $h^2 = \lambda$.

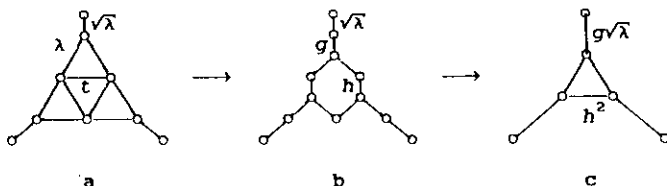


Рис. 9. Редукция обобщенной 1-ячейки к обобщенной 0-ячейке.

Процесс дальнейшей редукции показан на рис. 9 и состоит из тех же операций, что и на первых этапах преобразований. В конечном итоге задача приводится к простому треугольнику с "хвостами", рис. 9с. Можно сделать и следующий шаг и через преобразование звезда-треугольник перейти к звезде.

Нетрудно видеть, что подобная схема работает и для ячейки любого уровня n , которая последовательными трансформациями с понижением порядка может быть сведена к уровню $n=0$, или (если добавить еще шаг) к обобщенной звезде. По мере редукции вся информация накапливается в "хвостах", а возникающие при трансформациях звезда-треугольник нормировочные множители генерируют параметр R_n (см. (19)), т. е. статистическую сумму изолированной ячейки. Отметим, что возникающие здесь рекурсионные соотношения несколько более сложны, чем это видно в графических иллюстрациях, в связи с тем, что по мере итераций от периферии и углов ячейки распространяются внутрь видоизмененные связи (влияние склейки на периметре) и приходится иметь дело с несимметричными элементарными треугольниками.

Изложенная здесь техника редукции позволяет провести вычисление параметров полиномов $(P_{123})_n$ для нескольких первых значений n аналитически. По этой схеме для $n=1$ легко получаем результат (22б). В следующем порядке, $n=2$, в терминах R_0 и λ_0 , см. (21б), находим:

$$R_2 = R_0^6 (1 + 3\lambda_0^3 + 3\lambda_0^5 + \lambda_0^6), \quad \lambda_2 R_2 = R_0^6 \lambda^3 (1 + 3\lambda_0 + \lambda_0^2 + 3\lambda_0^3). \quad (34)$$

В случае $n=3$ довольно громоздкие вычисления дают

$$R_3 = R_0^{10} (1 + 6\lambda_0^3 + 9\lambda_0^5 + 10\lambda_0^6 + 12\lambda_0^7 + 15\lambda_0^8 + 15\lambda_0^9 + 6\lambda_0^{10}),$$

$$\lambda_3 R_3 = R_0^{10} \lambda^4 (1 + 6\lambda_0 + 6\lambda_0^2 + 12\lambda_0^3 + 17\lambda_0^4 + 14\lambda_0^5 + 8\lambda_0^6). \quad (35)$$

В более высоких порядках аналитические вычисления не целесообразны и следует переходить к численным расчетам.

3. *Компьютерные вычисления.* При рекурсионных вычислениях параметров R_n и λ_n на компьютере общая схема остается такой же, как в подробно описанных низших порядках по n , за исключением некоторых деталей. Так, с точки зрения экономии количества арифметических операций, и во избежание потери точности, удобно осуществить преобразования к (*)-сопряженным параметрам на стадии звезд, см. рис. 8 и 9, то есть удобно использовать параметры h_1^* , где

$$h_1^* = \frac{(1-h_1)}{(1+h_1)}, \quad h_1 = \frac{(1-h_1^*)}{(1+h_1^*)}. \quad (36)$$

При этом, при моделировании несимметричного полинома

$$P_{123} = \alpha_0 + \alpha_1 \sigma_2 \sigma_3 + \alpha_2 \sigma_3 \sigma_1 + \alpha_3 \sigma_1 \sigma_2 \quad (37)$$

через эффективный треугольник с параметрами t_1, t_2, t_3 (см. (23)) или эквивалентную ему звезду (см. (25)) с параметрами h_1, h_2, h_3 (см. (24)) оказывается полезным ввести преобразование параметров α_j :

$$D_1 = \frac{\alpha_0 \alpha_i + \alpha_j \alpha_k - 2 \sqrt{\alpha_0 \alpha_1 \alpha_2 \alpha_3}}{\alpha_0 \alpha_1 - \alpha_j \alpha_k} \quad (i, j, k \text{ все различны}). \quad (38)$$

Если полином (37) получается из треугольника, то $D_1 = D_1(t_1, t_2, t_3)$, и при этом

$$h_1^* = D_1(t_1, t_2, t_3), \quad (39)$$

причем оказывается, что преобразование (39) совпадает со своим обратным (самодуально), и мы имеем в то же время

$$t_1 = D_1 (h_1^*, h_2^*, h_3^*) \quad (40)$$

Один цикл вычислений заключается при этом в повторении преобразования (39) n_T раз, для каждого элементарного треугольника для данной ячейки, где n_T — число этих треугольников на ячейке. Тем самым мы приходим к звездам (см. рис 8b) в терминах (*)-сопряженных параметров. Затем осуществляется склейка ребер по периметру и перераспределения ребер в новые (*)-звезды. Включением обратного преобразования (40), переводящего звезды в треугольники, цикл завершается. В результате одного цикла происходит редукция обобщенной треугольной n -ячейки к ячейке $(n-1)$ -го порядка. Процесс редукции продолжается, пока не получится 0-ячейка. Параметр λ_n при этом формируется за счет "хвостов", возникающих в каждом цикле (см. рис. 8 и 9). Независимо на первом этапе каждого цикла появляются нормировочные множители (см. R_{123} в (25)), из которых формируется статсумма ячейки R_n . Таким образом, для различных значений температуры kT/ϵ и параметра $t = \text{th}(b)$, $b = \epsilon/kT$, можно вычислить значения R_n и λ_n , для решетки n -го порядка и по формулам (15) и (17) получить теплоемкость.

Результаты вычислений теплоемкости C и коррелятора λ_n для различных значений n приведены на рис. 10 и 11. Алгоритм был реализован на языке QuickBASIC, версия фирмы Microsoft. Расчет графиков при $n=22$ занимает около 10 мин времени персонального компьютера типа PC AT. Время вычислений возрастает пропорционально n^3 . В таблице приведены также значения критической температуры $(T_c)_n$, полученные путем численного решения уравнения $\lambda_n(T_c) = 1/3$, см. (18). Физическое обсуждение результатов проводится в следующем разделе.

4. *Фазовый переход и поведение теплоемкости во всей области температур.* Поведение теплоемкости в зависимости от температуры для ряда n -решеток показано на рис. 10. На графиках видно, что для каждой решетки при соответствующей температуре $(T_c)_n$ у теплоемкости имеется сингулярный пик. Этот пик отвечает фазовому переходу второго рода на глобальной n -решетке. Отметим, сингулярности в самих точках перехода имеют логарифмический характер, как это следует из общих аналитических результатов для моделей рассматриваемого типа [3,4].

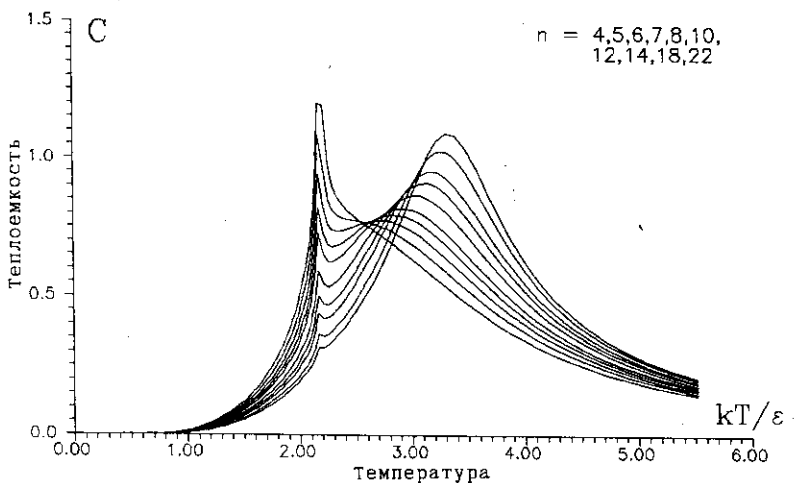


Рис. 10. Теплоемкость в расчете на один спин для глобальной решетки n -го уровня.

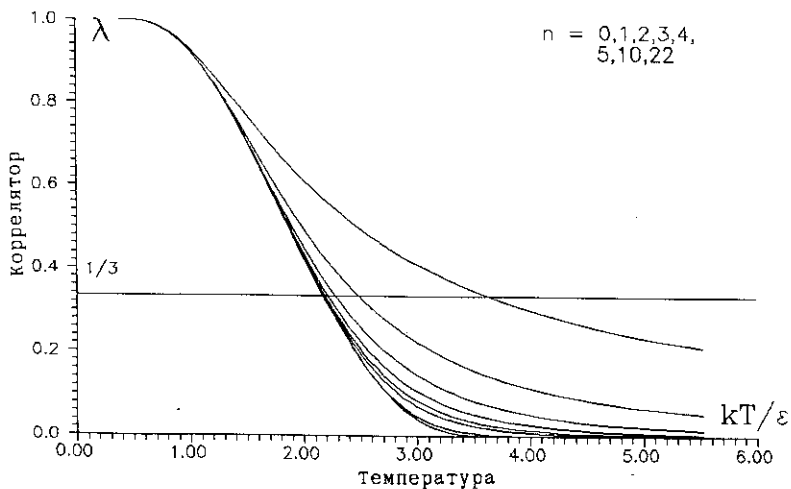


Рис. 11. Зависимость коррелятора угловых спинов $\lambda_n = \langle \sigma_1 \sigma_2 \rangle_n$ от температуры для n -ячейки при различных n . Точка пересечения коррелятора λ и горизонтального уровня $1/3$ определяет температуру фазового перехода на глобальной n -решетке.

При малых n поведение качественно близко к хорошо известному плавному поведению C для обычной решетки ($n=0$). Однако, начиная примерно с $n = 6$, проявляются быстро растущие с ростом n отличия. Как видно из рис. 10, при больших n критическая область становится аномально узкой³⁾. Кроме того, при больших n наблюдается хорошо

Таблица. Значения критической температуры при различных уровнях решетки n

n	$(kT_c/\epsilon)_n$	n	$(kT_c/\epsilon)_n$	n	$(kT_c/\epsilon)_n$
0	3.640956907	8	2.172176108	16	2.171607613
1	2.485339738	9	2.171844416	17	2.171607352
2	2.279408177	10	2.171705332	18	2.171607247
3	2.214188448	11	2.171647497	19	2.171607206
4	2.189333928	12	2.171623634	20	2.171607189
5	2.179123888	13	2.171613857	21	2.171607183
6	2.174803611	14	2.171609875	22	2.171607180
7	2.172960608	15	2.171608263	23	2.171607179

заметный пик справа от критической точки. Мы интерпретируем этот пик как назревающий фазовый переход (квазипереход) в отдельных n -ячейках. В самом деле, n -ячейки представляют собой конечные фрагменты простой треугольной решетки. Можно предположить, что при больших числах n спины внутри ячейки начинают слабее чувствовать наличие границы и во внутренней области ячейки устанавливаются корреляции, напоминающие корреляции на бесконечной простой треугольной решетке. При понижении температуры происходит смена в режиме корреляций от слабых к сильным. На бесконечной простой решетке это проявилось бы как фазовый переход. Такая интерпретация подтверждается близостью температуры квазиперехода (отвечающей конечному пику в C) при максимальном рассчитанном значении $n=22$ к

³⁾Заметим, что такой же эффект наблюдается и для декорированных решеток с фрактальной структурой элементарной ячейки [5].

температуре перехода $(T_c)_{n=0}$ простой бесконечной треугольной решетки, см. рис 10 и таблицу.

С другой стороны, мы знаем, что настоящий фазовый переход на глобальной декорированной решетке происходит, когда коррелятор угловых спинов на изолированной ячейке $\lambda_n = \langle \sigma_1 \sigma_2 \rangle_n$ достигает величины $1/3$ (это следует из общих аналитических результатов для моделей рассматриваемого типа [3]). Численные значения безразмерных критических температур $(kT_c/\epsilon)_n$ представлены в таблице. Любопытно, что при $n \rightarrow \infty$ последовательность $(kT_c/\epsilon)_n$ стремится, видимо, к конечному значению в районе $2,171607\dots$

Поведение коррелятора λ_n в зависимости от температуры для различных n представлено на рис. 11. Как видно из графиков, в области конечных правых пиков у теплоемкости корреляторы малы и достигают значения $1/3$ при более низких температурах, где и осуществляется фазовый переход на глобальной решетке. Запаздывание возрастания коррелятора λ_n по мере понижения T по сравнению с предполагаемой сменой режима в корреляциях внутри ячейки следует, видимо, связывать с геометрией ячейки.

При такой интерпретации мы можем предположить, в свою очередь, что в фазовом переходе на глобальной решетке в точке $(T_c)_n$ участвуют уже не отдельные спины, а "целиком" довольно сильно упорядоченные декорированные ячейки. Это приводит к эффективному уменьшению степеней свободы и подавлению критических флуктуаций, что может служить физическим объяснением аномально узкой критической области при больших n . Для более детального изучения вопроса было бы интересно исследовать температурную зависимость корреляторов между различными точками как для изолированной ячейки, так и для глобальной решетки. Не исключено, что системы с подобными свойствами у теплоемкости, которые изучены здесь на основе точных аналитических решений, могут встречаться в экспериментальных исследованиях магнетиков со сложной структурой [8]. Проявления таких свойств можно ожидать, видимо, вообще в любых системах из слабо связанных подсистем со многими внутренними степенями свободы. В частности, двумерность пространства, вероятно, не играет здесь определяющей роли и подобные эффекты могут, по-видимому, проявляться и в трехмерных системах.

Авторы выражают благодарность К.И. Гроздеву, Е.И. Корнилову, И. Мертиг, Н. М. Плакиде, В. Б. Приезжеву, В. Салейде, Р. Хайну за обсуждение и полезные замечания.

Литература

1. McCoy B. M., Wu T. T. - *The Two-Dimensional Ising Model*, Harvard U. Press, Cambridge, Mass., 1973.
2. Syosi I. - *Transformation of Ising Models*, In: *Phase Transitions and Critical Phenomena*, vol. I., C. Domb and M. S. Green, eds., Academic Press, London, 1972, p. 269-329.
3. Plechko V. N. - *Grassmann Path-Integral Solution for a Class of Triangular Type Decorated Ising Models*, *Physica A*, 1988, 152, p. 51-97.
4. Плечко В. Н. - Фермионный функциональный интеграл в двумерных изинговских моделях на декорированных решетках. В тр. "IV международный симпозиум по избранным проблемам статистической механики", ОИЯИ, Д-17-87-477, Дубна, 1987, стр. 291-303.
5. Plechko V. N. - *Critical Point of 2D Ising Models with Fractal-Type Structure of Elementary Cell*, In: "V International Symposium on Selected Problems in Statistical Mechanics, Abstracts". JINR, D17-89-535, Dubna, 1989, p. 53.
6. Wannier G. H. - *Rev. Mod. Phys.*, 1945, 17, p. 50.
7. Бэкстер Р. - *Точно решаемые модели в статистической механике*, Мир, М., 1985.
8. Givord D., ed. - *Proceedings of the International Conference on Magnetism, Paris, July 25-29, 1988*, - *J. de Phys.*, 1988, 49, parts I-III.

Рукопись поступила в издательский отдел
29 января 1990 года.